# 场助 InP/InGaAsP/InP 半导体光电 阴极时间响应的计算

李晋闽\* 郭里辉 侯 洵 (中国科学院西安光学精密机械研究所, 酒安 710068)

关键词 半导体光电阴极、异质结、时间响应

### 一、引言

场助 III.—V 族多元化合物半导体光电阴极与 GaAs NEA (Negative electron affinity) 光电阴极相比,具有可延伸光电探测的长波阈值、提高红外波段光谱灵敏度等优点<sup>11,13</sup>,因此在光纤通信、微光夜视以及高速摄影等方面具有广泛的应用。 虽然目前场助多元化合物半导体光电阴极的研究已取得了许多成果,但有关理论研究方面的报道却很少见,特别是判别多元化合物半导体场助阴极性能的一个重要指标,即时间响应的理论计算,到目前为止尚未见到过报道。本文根据光生电子在阴极体内的分布是时间的函数这一观点,对多元化合物半导体的透射式 InP/InGaAsP/InP 场助异质结光电阴极的时间响应进行了理论计算。 据此可对场助半导体光电阴极的设计及应用提供必要的理论依据。

## 二、理论计算模型

本文计算所用的 InP/InGaAsP/InP 异质结场助阴极的能带结构如图 1 所示,其中吸收层

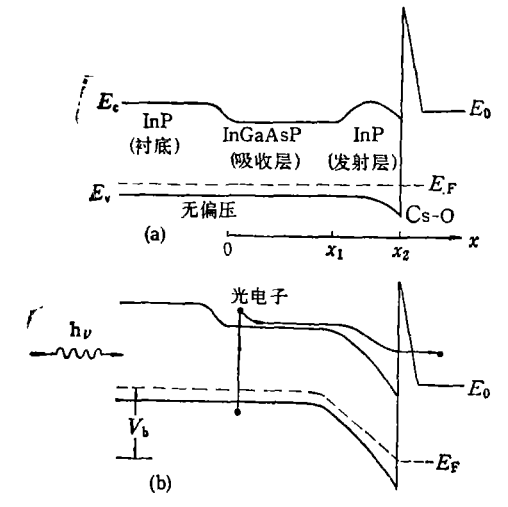


图 1 InP/InGaAsP/InP 异质结场助阴极的能带结构

是带隙为 0.99eV (对应的阈值波长为 1.25 μm) 的 InGaAsP 图中 InP分别为衬底(入射窗口) 和电子发射层。为了简化计算,我们采用"耗尽层近似"原理,假设场助偏压全部加在由肖特基结形成的表面耗尽层中, 耗尽层之外的区域是电中性的; 电场 Ε 的方向由电子发射层表面指向阴极体内。

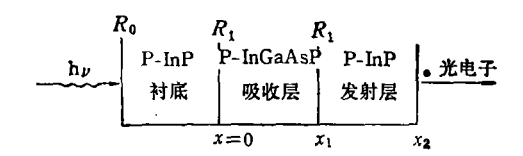


图 2 异质结阴极的计算模型

本文 1991 年 6 月 11 日收到. 1991 年 10 月 25 日收到修改稿

<sup>\*</sup> 现在中国科学院半导体研究所工作。

场助半导体光电阴极吸收光子后的光电发射由以下 5 个过程组成: 1. 在吸收层中,光激发电子进入导带; 2. 光生电子迅速热化到导带底; 3. 光生电子向发射层扩散; 4. 进入场助偏压的势垒区后,光电子受到电场的加速,由低能谷跃迁到高能谷; 5. 具有一定能量的光电子通过隧道效应,穿过 Cs-O 激活层的势垒,发射到真空中。以上过程表明,光电子在半导体阴极体内除了扩散运动外,还包括在电场作用下的漂移运动。根据图 1 及 InP/InGaAsP/InP 异质结场助阴极的结构,在时间响应的计算中采用图 2 所示的模型。由此模型,可写出含时间变量的电子运动方程及边界、初始条件为

$$\begin{cases} \frac{\partial \Delta n(x,t)}{\partial t} = D \frac{\partial^2 \Delta n(x,t)}{\partial x^2} - \Delta n(x,t) \frac{\partial V(x)}{\partial x} - V(x) \frac{\partial \Delta n(x,t)}{\partial x} - \frac{\Delta n(x,t)}{\tau}, \\ \Delta n(x,0) = \alpha (1 - R_0) I_0 \exp(-\alpha x), & (0 \le x \le x_1), \\ D \frac{\partial \Delta n(x,t)}{\partial x} - V(x) \Delta n(x,t) = S \Delta n(x,t) \Big|_{x=0}, \end{cases}$$

$$(1)$$

其中  $\Delta n(x, t)$ 、V(x) 和  $\tau$  分别为光电子的浓度、漂移速度和寿命; D 为电子扩散系数,  $\alpha$  为 InGaAsP 的吸收系数, $R_0$  为光电阴极人射面的反射率,  $I_0$  为入射光强,S 为 InP (衬底)/ InGaAsP (吸收层)界面(x=0)的电子复合速度。

场助光电阴极出射电子的粒子流密度为

$$I(t) = -D \cdot \frac{\partial \Delta n(x,t)}{\partial x} \Big|_{x=x_t}.$$
 (2)

由(1)式所组成的边值问题是无法给出解析解的。我们采用数值法对其进行离散化处理, 然后在电子计算机上求出数值解。对(1)式进行离散化处理后,可得如下矩阵:

$$\begin{bmatrix} b_{1} & c_{1} \\ a_{2} & b_{2} & c_{2} \\ \vdots & \vdots & \ddots & \vdots \\ & a_{n-1} & b_{n-1} & c_{n-1} \\ & & & & & N_{2}^{i+1} \\ & & & & & \\ & & & & & \\ & & & & & \\ & & & & & \\ & & & & & \\ & & & & & \\ & & & & & \\ & & & & & \\ & & & & & \\ & & & & \\ & & & & \\ & & & & \\ & & & & \\ & & & & \\ & & & & \\ &$$

在(3)式中

$$b_{1} = D/h_{x} + V_{1} + S, c_{1} = -D/h_{x},$$

$$a_{i} = D/(2h_{x}^{2}) + V_{i}/(4h_{x}),$$

$$b_{i} = -D/h_{x}^{2} - [1/\tau + (V_{i+1} - V_{i})/(2h_{x})]/2 - 1/h_{t},$$

$$c_{i} = D/(2h_{x}^{2}) - V_{i}/(4h_{x}),$$

$$d_{i} = -D/h_{x}^{2} - [1/\tau + (V_{i+1} - V_{i})/(2h_{x})]/2 + 1/h_{t},$$

$$a_{n} = 0, b_{n} = 1,$$
(4)

以上 $i=2,\cdots,n-1$ 

$$f_{i}^{i} = -a_{i}N_{i-1}^{i} - d_{i}N_{i}^{i} - c_{i}N_{i+1}^{i} \binom{i = 2, \dots, n-1}{j = 1, 2, \dots, m-1},$$

$$N_{i}^{1} = \begin{cases} \alpha I_{0}(1-R)_{0} \exp\left[-\alpha(i-1)x_{1}/(n_{1}-1)\right] & (1 \leq i \leq n_{1}), \\ 0, & (n_{1}+1 \leq i \leq n), \end{cases}$$

$$\mathbf{z} = \left[\frac{x_{2}}{h_{2}}\right] + 1; \quad n_{1} = \left[\frac{x_{1}}{h_{2}}\right] + 1; \quad m = \left[\frac{T}{h_{1}}\right] + 1,$$

$$(5)$$

科学通频

这里了为所考虑的总时间长度, h, 为其破分长度.

从(4)、(5)式中可得到  $f_{i_1}, \dots, f_{i_{n-1}}$ ,代人矩阵(3)式,用追赶法求出  $N_{i_1}^2, N_{i_2}^2, \dots, N_{i_n}^2$ . 再 把求出的 $\{N_i^2\}$ 代人(4)式可得到  $f_{i_1}, f_{i_2}, \dots, f_{i_{n-1}}, \dots$ ,如此逐次用追赶法求解下去,就可求出 $\{N_i^2\}$ ,即解出  $\Delta n(x,i)$  的数值解。

## 三、计算结果

在计算中,取  $D=150 \,\mathrm{cm}^2/\mathrm{s}$ ,  $\ln \mathrm{GaAsP}$  吸收层和  $\ln \mathrm{P}$  发射层的厚度分别为  $3.0 \,\mu\mathrm{m}$  和  $0.5 \,\mu\mathrm{m}$ 。根据我们实测, $\ln \mathrm{GaAsP}$  的吸收系数  $\alpha$  在  $1.24 \,\mu\mathrm{m}$  时为  $3 \times 10^3 \,\mathrm{cm}^{-1}$ ;在该波长时  $R_0$  取为  $0.263^{[3]}$ 。另外,电子漂移速度 V(x) 与电场强度的关系如图  $3 \,\mathrm{m}$  示  $^{[4]}$ 。

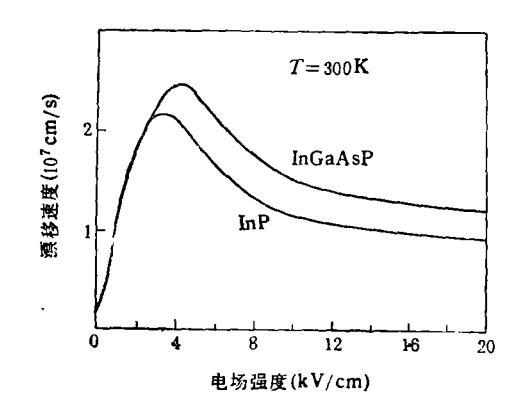


图 3 InP、InGaAsP 的 V-E 关系曲线

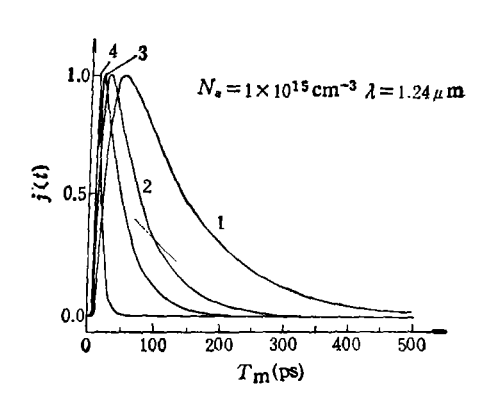


图 4 透射式场助 InP/InGaAsP/InP 异质结光电阴极时间响应的计算曲线  $I_{----}V_b = 0.0V$ ;  $I_{----}V_b = 3V$ ;  $I_{----}V_b = 5V$ ;  $I_{----}V_b = 7V$ 

根据以上数据,计算出在入射光波长和掺杂浓度一定的条件下,加不同偏压时场助阴极的时间响应曲线如图 4 所示。图中光电阴极出射电子的粒子流密度作了归一化处理,取为 i(i)。  $T_m$  为响应峰值延迟, $\Delta T$  为响应脉冲半宽度。表 1 给出了不同掺杂浓度与所加偏压对  $T_m$  和  $\Delta T$  的影响。

$N_a(cm^{-3})$	1015		1016		1017	
ν <sub>ь</sub> (V)	T <sub>m</sub> (ps)	Δ <i>T</i> (ps)	T <sub>m</sub> (ps)	ΔT (ps)	T <sub>m</sub> (ps)	△T (ps)
0	52	119	63	144	64	144
3	31	59	60	135	64	144
5	21	38	51	113	63	144
7	13	10	44	96	63	143

表  $N_a$ ,  $V_b$  对  $T_m$ ,  $\Delta T$  的影响  $(\lambda = 1.24 \mu m)$ 

# 四、结果分析与讨论

从以上结果可见,在掺杂浓度较低时,光电阴极的响应速度随偏压的加大得到明显改善。 在掺杂为 10<sup>17</sup>/cm<sup>3</sup> 时,加 7V 偏压可将响应脉冲半宽度由零偏压时的 119ps 减小到 10ps,响应 峰值延迟也由 52ps 缩短到 13ps。随着掺杂浓度的提高,响应时间随偏压的变化不再明显。当 掺杂浓度为 10<sup>17</sup>/cm³时,响应时间几乎不随外加偏压变化。这主要是由于在低掺杂时,异质结界面处(x = x<sub>1</sub>)的电子势垒很容易被外加偏压"拉平",如图 1(b),因此消除了电子向发射层表面运动中所受到的势垒散射。另外在低掺杂时,随外加偏压的增大,场助作用深度向体内扩展的很快,使光电子受外加电场作用的范围也就越大。 所以低掺杂时光电子的输出响应时间随偏压变化很快。相反,在相对高掺杂情况下(如 10<sup>17</sup>/cm³),外加偏压的增大很难消除掉界面处的电子势垒,电场作用范围也很小且随偏压增加变化不大,因此光电子的输出响应时间几乎不随外加偏压而变化。

我们还计算了  $N_{\bullet} = 10^{16}/\text{cm}^3$ ,  $V_{\bullet} = 3\text{V}$ ,  $\lambda = 0.92 \, \mu \text{m}$  时光电阴极的输出响应,得到  $T_{\text{m}} = 61 \, \text{ps}$ ,  $\Delta T = 138 \, \text{ps}$ . 对比表 1 中  $\lambda = 1.24 \, \mu \text{m}$  时的结果,可看出入射光波长对响应时间影响不大。

虽然外加偏压可显著地改善光电阴极的响应特性,但由图 3 中可知,当电场强度超过一定值后,电子在阴极体内的运动速度趋于饱和,因此光电阴极的时间响应也趋于定值。另外根据我们的理论计算及实验<sup>DEI</sup>,场助偏压过高时(如:  $N_{\bullet} = 10^{16}/\text{cm}^3$ 时, $V_{\bullet}$ 大于 7V 或  $N_{\bullet} = 10^{16}/\text{cm}^3$ 时, $V_{\bullet}$ 大于 10V),除了对时间响应特性不会再有明显改善外,场助半导体光电阴极的其它特性(如暗电流)将会受到影响,因此为了获得最佳的时间响应及光电阴极的整体特性,应根据材料参数综合考虑,选择适当的场助偏压值。

### 参 考 文 献

- [1] Gregory, P. E. et al., Appl. Phys. Lett., 36(1980), 639-641.
- [2] Escher, J. S. et al., IEEE Electron. Devices Lett., EDL-2(1981), 123-125.
- [3] Willardson, R. K. and Beer, A. C. (eds.), Semiconductors and Semimetals, Academic Press, New York, 1967,
- [4] Pearsall, T. P. (ed.), GalnAsP Alloy Semiconductors, Wiley, New York, 1982, 255-268.
- [5] Li Jinmin, Hou Xun and Guo Lihui, J. Phys. D: Appl. Phys., 22(1989), 1544-1548.

中国知网

<sup>1)</sup> 李晋闽,中国科学院西安光学精密机械研究所博士学位论文,1990. 引